

Плоская задача об упругом ударе тела о препятствие

© В.В. Лапшин

МГТУ им. Н.Э. Баумана, Москва, 105005, Россия

Рассмотрена плоская задача упругого удара тела о шероховатую поверхность в рамках модели удара Ньютона (стереомеханической модели удара). Определена зависимость характера движения тела после удара от положения точки контакта относительно центра масс тела, момента инерции тела, коэффициента восстановления, коэффициента трения и скорости точки контакта тела с поверхностью (либо скорости центра масс тела и его угловой скорости) до удара. Дана соответствующая графическая интерпретация.

Ключевые слова: удар, сухое трение, стереомеханическая модель.

Введение. Явление удара часто встречается при движении механических систем, в том числе при работе различных машин и механизмов. Многие прикладные задачи могут быть исследованы в соответствии с теорией удара Ньютона [1–7]. Аналитическое решение плоской задачи об ударе тела о шероховатую поверхность при точечном контакте тела с поверхностью получено в [1, 2]. В этом случае однозначно определяются импульс ударной силы реакции и характер движения (скорости) тела после удара. В данной работе показано, что тип удара или характер движения точки соприкосновения в процессе удара определяется с помощью графической картины на плоскости параметров «угол трения φ и угол падения β » (направление скорости точки соприкосновения тела с поверхностью до удара). В качестве границ, разделяющих области, соответствующие различным типам удара, выступают кривые, поведение которых зависит от положения точки соударения относительно центра масс тела, радиуса инерции тела, угла трения и коэффициента восстановления при ударе.

Исследование процесса удара. Рассмотрим плоский упругий удар тела массой m о неподвижную шероховатую поверхность (рис. 1). Пусть C — центр масс тела, S — точка контакта тела с поверхностью при ударе. Радиус инерции тела относительно центра масс обозначим ρ . Единичные векторы τ и \mathbf{n} определяют касательное и нормальное направления к поверхности в точке контакта S . Обозначим через $\mathbf{R} = (R_\tau, R_n)$ касательный и нормальный импульсы ударной силы реакции в точке S . Положение центра масс C относительно точки S определяется параметрами $h \geq 0$ и b . Не нарушая общности, можно считать, что центр масс C лежит слева от точки контакта S , при этом

$$b \geq 0. \tag{1}$$

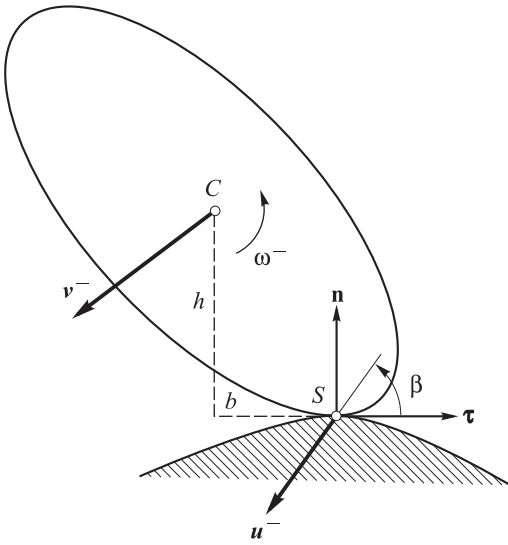


Рис. 1. Схема взаимодействия тела с препятствием

Для случая $b < 0$ (центр масс C лежит справа от точки контакта S) все результаты могут быть получены из соображений симметрии.

Обозначим через $\mathbf{v} = (v_\tau, v_n)$ касательную и нормальную скорости центра масс C , $\mathbf{u} = (u_\tau, u_n)$ — касательную и нормальную скорости точки контакта S , ω — угловую скорость тела. За положительное примем направление угловой скорости против хода часовой стрелки. Скорости точек C и S связаны кинематическими соотношениями

$$u_\tau = v_\tau + \omega h, u_n = v_n + \omega b. \quad (2)$$

Процесс удара разделим на две фазы: в фазе деформации нормальная составляющая скорости точки контакта уменьшается до нуля, оставаясь отрицательной, а в фазе восстановления — увеличивается от нуля до некоторого положительного значения.

Нормальная скорость точки S до удара отрицательна, в конце фазы деформации равна нулю, после удара положительна, а нормальная составляющая импульса ударной силы реакции должна быть неотрицательной:

$$u_n^- < 0, u_n' = 0, u_n^+ > 0, R_n \geq 0. \quad (3)$$

Значения всех скоростей до удара будем обозначать верхним индексом «-», значения скоростей после удара — «+», а значения скоростей в конце фазы деформации (или начале фазы восстановления) — «'».

Уравнения удара (движения центра масс и изменения кинетического момента тела относительно центра масс) в фазе деформации имеют вид

$$m(v_\tau' - v_\tau^-) = R_\tau', m(v_n' - v_n^-) = R_n', m r^2(\omega' - \omega^-) = R_n' b + R_\tau' h, \quad (4)$$

а в фазе восстановления —

$$m(v_\tau^+ - v_\tau') = R_\tau'', m(v_n^+ - v_n') = R_n'', m r^2(\omega^+ - \omega') = R_n'' b + R_\tau'' h. \quad (5)$$

Здесь $R'_n, R'_\tau, R''_n, R''_\tau$ — нормальные и касательные составляющие импульса ударной силы реакции соответственно в фазах деформации и восстановления. При этом для нормальных составляющих [1–7] $R''_n = kR'_n$, где $0 \leq k \leq 1$ — коэффициент восстановления при ударе. При абсолютно неупругом ударе $k = 0$, а при абсолютно упругом — $k = 1$.

Учитывая соотношения (2)–(3), из выражений (4)–(5) получаем формулы для изменения скорости точки контакта S в фазе деформации

$$m\rho^2(u'_\tau - u_\tau^-) = R'_\tau(\rho^2 + h^2) + R'_n b h, \quad -m\rho^2 u_n^- = R'_n(\rho^2 + b^2) + R'_\tau b h \quad (6)$$

и фазе восстановления

$$m\rho^2(u_\tau^+ - u'_\tau) = R''_\tau(\rho^2 + h^2) + kR'_n b h, \quad m\rho^2 u_n^+ = kR'_n(\rho^2 + b^2) + R''_\tau b h. \quad (7)$$

Отсюда получаем

$$m\rho^2(u_\tau^+ - u_\tau^-) = R_\tau(\rho^2 + h^2) + R_n b h, \quad m\rho^2(u_n^+ - u_n^-) = R_n(\rho^2 + b^2) + R_\tau b h,$$

где $R_n = (1+k)R'_n, R_\tau = R'_\tau + R''_\tau$.

Примем гипотезу о том, что при ударе трение сводится к сухому трению [1–3, 5] с коэффициентом f , т. е. $|R_\tau| \leq fR_n$. Если точка контакта в процессе удара в течение некоторого (бесконечно малого) интервала времени имеет постоянное направление касательной скорости, в этой фазе удара $R_\tau = -fR_n \text{sign } u_\tau$.

В результате удара точка контакта S может в касательном к поверхности направлении остановиться или скользить в течение всего удара. При этом если в процессе удара под действием трения касательная скорость u_τ становится равной нулю в некоторый момент времени $t^* \in [t^-, t^+]$, то это не означает, что в дальнейшем в процессе удара она останется равной нулю. Действительно, чтобы $u_\tau \equiv 0$ при $t \in [t^*, t^+]$, должны выполняться соотношения $m\rho^2(u_\tau^+ - u_\tau^*) = 0 = R_\tau^{**}(\rho^2 + h^2) + R_n^{**} b h, |R_\tau^{**}| \leq fR_n^{**}$, где $u_\tau^* = 0$ — касательная скорость точки контакта в момент t^* , а R_τ^{**}, R_n^{**} — импульсы ударной силы реакции за время $[t^*, t^+]$. Отсюда

$$f \geq \frac{bh}{\rho^2 + h^2}. \quad (8)$$

Если условие (8) нарушено, то в силу геометрического положения тела точка контакта при $t \in [t^*, t^+]$ скользит направо (см. рис. 1), т. е. $u_\tau > 0$, так как $R_\tau^{**} = -fR_n^{**}$ и $m\rho^2(u_\tau^+ - u_\tau^*) = m\rho^2 u_\tau^+ = R_\tau^{**}(\rho^2 + h^2) + R_n^{**}bh > 0$. В этом случае может произойти изменение направления скольжения точки контакта. При $t^*[t^-, t^+]$ точка контакта скользит налево, т. е. $u_\tau < 0$, или с отрицательной скоростью, которая под действием силы трения уменьшается до нуля, а затем начинает скользить направо с увеличивающейся положительной скоростью.

Перейдем к рассмотрению различных типов удара в зависимости от того, как осуществляется скольжение в процессе удара.

Скольжение прекращается в фазе деформации $u'_\tau = u_\tau^+ = 0$.
Из уравнений удара (6)–(7) получаем

$$R'_n = m \frac{-u_n^-(\rho^2 + h^2) + u_\tau^- bh}{\rho^2 + b^2 + h^2}, \quad R'_\tau = m \frac{u_n^- bh - u_\tau^-(\rho^2 + b^2)}{\rho^2 + b^2 + h^2},$$

$$R''_\tau = -\frac{bh}{\rho^2 + h^2} k R'_n, \quad u_n^+ = \frac{k}{m} (\rho^2 + b^2 + h^2) R'_n.$$

Этот случай имеет место тогда и только тогда, когда выполняются условия:

$$u_n^- \leq 0, \quad f \geq \frac{bh}{\rho^2 + h^2}, \quad u_n^-(\rho^2 + h^2) - u_\tau^- bh \leq 0,$$

$$u_n^- [bh + f(\rho^2 + h^2)] - u_\tau^- [\rho^2 + b^2 + fbh] \leq 0, \quad (9)$$

$$u_n^- [bh - f(\rho^2 + h^2)] - u_\tau^- [\rho^2 + b^2 - fbh] \geq 0.$$

Скольжение прекращается в фазе восстановления
 $\text{sign } u'_\tau = \text{sign } u'_\tau$, $u_\tau^+ = 0$, $R'_\tau = -f R'_n \text{sign } u_\tau$. Из уравнений удара (6)–(7) имеем

$$R'_n = \frac{-m\rho^2 u_n^-}{\rho^2 + b^2 - fbh \text{sign } u_\tau}, \quad u'_\tau = u_\tau^- - u_n^- \frac{bh - f(\rho^2 + h^2) \text{sign } u_\tau}{\rho^2 + b^2 - fbh \text{sign } u_\tau},$$

$$R''_\tau = -\frac{kR'_n bh + m\rho^2 u'_\tau}{\rho^2 + h^2}, \quad u_n^+ = \frac{kR'_n(\rho^2 + b^2) + R''_\tau bh}{m\rho^2}.$$

Этот случай имеет место тогда и только тогда, когда выполняются условия:

а) при скольжении направо

$$\begin{aligned} u_n^- \leq 0, \quad u_\tau^- > 0, \quad \frac{bh}{\rho^2 + h^2} \leq f \leq \frac{\rho^2 + b^2}{bh}, \\ u_n^- [bh - f(\rho^2 + h^2)] - u_\tau^- [\rho^2 + b^2 - fbh] < 0, \\ (1+k)u_n^- [bh - f(\rho^2 + h^2)] - u_\tau^- [\rho^2 + b^2 - fbh] \geq 0; \end{aligned} \quad (10)$$

б) при скольжении налево

$$\begin{aligned} u_n^- \leq 0, \quad u_\tau^- < 0, \quad f \geq \frac{bh}{\rho^2 + h^2}, \\ u_n^- [bh + f(\rho^2 + h^2)] - u_\tau^- [\rho^2 + b^2 + fbh] > 0, \\ (1+k)u_n^- [bh + f(\rho^2 + h^2)] - u_\tau^- [\rho^2 + b^2 + fbh] \leq 0. \end{aligned} \quad (11)$$

Полное скольжение (без изменения направления) $\text{sign } u_\tau^- = \text{sign } u_\tau^+$, $R_\tau' = -f R_n' \text{sign } u_\tau$, $R_\tau'' = -f R_n'' \text{sign } u_\tau = -fk R_n' \text{sign } u_\tau$. Из уравнений удара (6)–(7) получаем

$$\begin{aligned} R_n' &= \frac{-m\rho^2 u_n^-}{\rho^2 + b^2 - fbh \text{sign } u_\tau}, \quad u_n^+ = -ku_n^-, \\ u_\tau^+ &= u_\tau^- - (1+k)u_n^- \frac{bh - f(\rho^2 + h^2) \text{sign } u_\tau}{\rho^2 + b^2 - fbh \text{sign } u_\tau}. \end{aligned}$$

Этот случай имеет место тогда и только тогда, когда выполняются условия:

а) при скольжении направо

$$\begin{aligned} u_n^- \leq 0, \quad u_\tau^- > 0, \quad f \leq \frac{\rho^2 + b^2}{bh}, \\ u_n^- [bh - f(\rho^2 + h^2)] - u_\tau^- [\rho^2 + b^2 - fbh] < 0, \\ (1+k)u_n^- [bh - f(\rho^2 + h^2)] - u_\tau^- [\rho^2 + b^2 - fbh] < 0; \end{aligned} \quad (12)$$

б) при скольжении налево

$$u_n^- \leq 0, \quad u_\tau^- < 0, \quad (1+k)u_n^- [bh + f(\rho^2 + h^2)] - u_\tau^- [\rho^2 + b^2 + fbh] > 0. \quad (13)$$

Изменение направления скольжения. В процессе удара точка контакта S сначала скользит налево, а затем направо. Этот случай имеет место, когда не выполнено условие (8) или

$$f < \frac{bh}{\rho^2 + h^2} < \frac{\rho^2 + b^2}{bh}.$$

Здесь кроме (8) использовано неравенство

$$\frac{bh}{\rho^2 + h^2} < \frac{\rho^2 + b^2}{bh}, \quad (14)$$

которое всегда справедливо. Действительно, в силу (1) $b \geq 0$ и неотрицательности h оно эквивалентно неравенству $b^2 h^2 \leq (\rho^2 + b^2) \times (\rho^2 + h^2)$, где радиус инерции $\rho \neq 0$.

Изменение направления скольжения в фазе деформации. В этом случае $t^- \leq t^* \leq t^+$ и $u_n^* \leq 0$, где t^* — момент изменения направления скольжения в процессе удара.

На первом этапе фазы деформации при $t \in [t^-, t^*]$ точка контакта скользит налево $u_\tau^- < 0$, $u_\tau^* = 0$, $R_\tau'^* = f R_n'^*$, где u_n^* , u_τ^* — скорость точки контакта S в момент смены направления скольжения; $R_n'^*$, $R_\tau'^*$ — импульсы ударной реакции в течение первого этапа фазы деформации. Из уравнений удара для первого этапа фазы деформации

$$R_n'^* = \frac{-m\rho^2 u_\tau^-}{bh + f(\rho^2 + h^2)}, \quad u_n^* = u_n^- - u_\tau^- \frac{[\rho^2 + b^2 + fbh]}{bh + f(\rho^2 + h^2)}.$$

На втором этапе фазы деформации при $t \in [t^*, t^+]$ точка контакта скользит направо: $u_\tau^* = 0$, $u_\tau^+ > 0$, $u_n^+ = 0$, $R_\tau''^* = -f R_n''^*$, где $R_n''^*$, $R_\tau''^*$ — импульсы ударной реакции в течение второго этапа фазы деформации. Из уравнений удара для этого этапа

$$R_n''^* = \frac{-m\rho^2 u_n^*}{\rho^2 + b^2 - fbh}, \quad u_\tau^+ = -u_n^* \frac{[bh - f(\rho^2 + h^2)]}{\rho^2 + b^2 - fbh}.$$

При $t \in [t^+, t^+]$ точка контакта скользит направо: $u_\tau^+ \geq 0$, $u_\tau^+ > 0$, $u_n^+ = 0$, $R_\tau'' = -f R_n''$, $R_n'' = k R_n'$, $R_n' = R_n'^* + R_n''^*$. Из уравнений удара для фазы восстановления (6) получаем

$$u_{\tau}^+ = u_{\tau}' + \frac{1}{m\rho^2} kR_n' [bh - f(\rho^2 + h^2)], \quad u_n^+ = \frac{1}{m\rho^2} kR_n' (\rho^2 + b^2 - fbh).$$

Этот случай имеет место тогда и только тогда, когда выполнены условия:

$$\begin{aligned} u_n^- \leq 0, \quad u_{\tau}^- < 0, \quad f < \frac{bh}{\rho^2 + h^2}, \\ u_n^- [bh + f(\rho^2 + h^2)] - u_{\tau}^- [\rho^2 + b^2 + fbh] \leq 0. \end{aligned} \quad (15)$$

Изменение направления скольжения в фазе восстановления:
 $t^- \leq t' \leq t^* \leq t^+$ и $u_n^* \geq 0$. В фазе деформации при $t \in [t^-, t']$ и на первом этапе фазы восстановления при $t \in [t', t^*]$ точка контакта скользит налево: $u_{\tau}^- < 0$, $u_{\tau}' < 0$, $u_{\tau}^* = 0$, $R_{\tau}' = fR_n'$, $R_{\tau}^{**} = fR_n^{**}$, где u_n^* , u_{τ}^* — скорость точки контакта S в момент смены направления скольжения; R_n^{**} , R_{τ}^{**} — импульсы ударной реакции в течение первого этапа фазы восстановления. Из уравнений удара для фазы деформации (5) и первого этапа фазы восстановления получаем

$$\begin{aligned} R_n' &= \frac{-m\rho^2 u_{\tau}^-}{bh + f(\rho^2 + h^2)}, \quad u_{\tau}' = u_{\tau}^- - u_n^- \frac{[bh + f(\rho^2 + h^2)]}{bh + f(\rho^2 + h^2)}, \\ R_n^{**} &= \frac{-m\rho^2 u_{\tau}'}{bh + f(\rho^2 + h^2)}, \quad u_n^* = -u_{\tau}' \frac{\rho^2 + b^2 + fbh}{bh + f(\rho^2 + h^2)}. \end{aligned}$$

На втором этапе фазы восстановления при $t \in [t^*, t^+]$ точка контакта скользит направо: $u_{\tau}^* = 0$, $u_{\tau}^+ > 0$, $u_n^* \geq 0$, $u_n^+ \geq 0$, $R_{\tau}^{***} = -fR_n^{***}$, $R_n'' = kR_n'$, $R_n^{***} = kR_n' - R_n^{**}$. Из уравнений удара для второго этапа фазы восстановления имеем

$$\begin{aligned} u_{\tau}^+ &= \frac{1}{m\rho^2} (kR_n' - R_n^{**}) [bh - f(\rho^2 + h^2)], \\ u_n^+ &= u_n^* + \frac{1}{m\rho^2} (kR_n' - R_n^{**}) (\rho^2 + b^2 - fbh). \end{aligned}$$

Этот случай имеет место тогда и только тогда, когда выполнены условия:

$$\begin{aligned}
 u_n^- \leq 0, \quad u_\tau^- < 0, \quad f < \frac{bh}{\rho^2 + h^2}, \\
 u_n^- [bh + f(\rho^2 + h^2)] - u_\tau^- [\rho^2 + b^2 + fbh] > 0, \\
 (1+k)u_n^- [bh + f(\rho^2 + h^2)] - u_\tau^- [\rho^2 + b^2 + fbh] \leq 0.
 \end{aligned}
 \tag{16}$$

Для всех рассмотренных выше случаев определены условия, при которых они имеют место, а также скорость точки контакта S после удара и импульсы ударных сил реакции опорной поверхности для фаз деформации и восстановления. Найдем полные импульсы ударных реакций в течение всего удара $R_n = R_n' + R_n'' = (1+k)R_n'$, $R_\tau = R_\tau' + R_\tau''$. Причем, если изменяется направление скольжения точки S в фазе деформации, то $R_n' = R_n^{*'} + R_n^{**}$, $R_\tau' = R_\tau^{*'} + R_\tau^{**}$. Если изменяется направление скольжения точки S в фазе восстановления, то $R_n'' = R_n^{*''} + R_n^{***}$.

Значение угловой скорости тела после удара определяется третьими уравнениями в (4)–(5) и равна $\omega^+ = \omega^- + \frac{R_n b + R_\tau h}{m\rho^2}$. Скорость центра масс тела после удара вычисляется с помощью соотношений (2).

Графическая интерпретация условий, соответствующих различным типам удара. Выше рассмотрены типы движения тела при ударе и получены условия, при которых имеет место тот или иной тип удара. Однако эти условия достаточно сложны и зависят от значений шести параметров: положения точки контакта относительно центра масс, определяемого параметрами b и h ; радиуса инерции тела относительно центра масс ρ ; коэффициента трения тела о поверхность f и скорости точки контакта S в начале удара. Непротиворечивость этих условий и корректность модели удара (т. е. однозначность определения характеристик движения в конце удара для любого тела и любых значений скоростей в начале удара) неочевидна.

Для упрощения анализа этих условий введем угол трения φ и углы $\gamma_0, \gamma_1, \gamma_2, \gamma_3, \tilde{\gamma}_0, \tilde{\gamma}_1, \tilde{\gamma}_2, \tilde{\gamma}_3$:

$$\begin{aligned}
 \varphi &= \arctg^* f, \quad \gamma_0 = \arctg^* \frac{\rho^2 + b^2}{bh}, \quad \gamma_1 = a \arctg^* \frac{bh}{\rho^2 + h^2}, \\
 \gamma_2 &= \arctg^* \frac{\rho^2 + b^2 + fbh}{bh + f(\rho^2 + h^2)}, \quad \gamma_3 = \arctg^* \frac{\rho^2 + b^2 - fbh}{bh - f(\rho^2 + h^2)}, \\
 \tilde{\gamma}_i &= \arctg^* \frac{\operatorname{tg} \gamma_i}{1+k}, \quad i = 0, 1, 2, 3.
 \end{aligned}
 \tag{17}$$

Учитывая неравенство (14), получаем $0 \leq \gamma_1 \leq \gamma_2 \leq \gamma_0 \leq \pi/2$.

Замечание. Здесь и далее $\text{arctg}^* x \in [0, \pi]$ при $x \in (-\infty, +\infty)$, т. е.

$$\text{arctg}^* x = \begin{cases} \text{arctg} x, & \text{если } x > 0, \\ \text{arctg} x + \pi, & \text{если } x < 0. \end{cases}$$

При этом $\text{arctg}^*(\pm\infty) = \pi/2$; $\text{arctg}^* x \rightarrow 0$, если $x \rightarrow 0$ и $x > 0$; $\text{arctg}^* x \rightarrow \pi$, если $x \rightarrow 0$ и $x < 0$.

Отметим, что характер движения точки контакта S в процессе удара зависит от направления скорости точки S до удара и не зависит от ее модуля. Введем угол

$$\beta = \text{arctg}^* \frac{u_n^-}{u_\tau^-},$$

где $\beta \in [0, \pi]$, который является углом падения точки S , отсчитываемым от касательного к опорной поверхности направления (рис. 1).

Тип удара или характер движения точки контакта S в процессе удара определяется соотношением значений угла трения φ , угла падения β и углов $\gamma_i, \tilde{\gamma}_i$ ($i = 0, 1, 2, 3$). Анализ условий (9–13), (15–16), определяющих тип удара, показывает, что некоторые из этих условий являются избыточными. На рис. 2 показаны области значений угла трения φ и угла падения β , которые соответствуют различным типам ударов.

В качестве границ, разделяющих эти области, выступают кривые, которые соответствуют зависимости углов $\gamma_2, \gamma_3, \tilde{\gamma}_2, \tilde{\gamma}_3$ от угла трения φ .

Аналитически эти условия имеют следующий вид. В процессе удара точка контакта S : в области I, или при $\varphi \geq \gamma_1$,

$\frac{\pi}{2} \leq \beta \leq \gamma_3$, скользит направо и останавливается в фазе деформации; в области II, или при $\varphi \geq \gamma_1$,

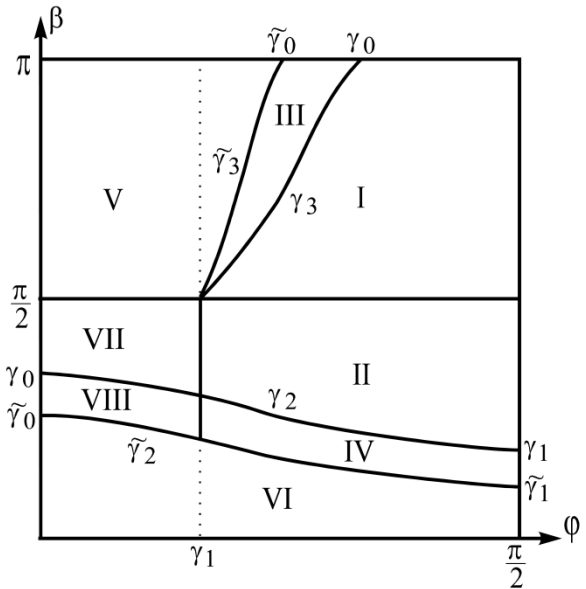


Рис. 2. Области, соответствующие различным типам удара

$\gamma_2 \leq \beta \leq \frac{\pi}{2}$, скользит налево и останавливается в фазе деформации; в области III, или при $\varphi \geq \gamma_1, \gamma_3 < \beta \leq \tilde{\gamma}_3$, скользит направо и останавливается в фазе восстановления; в области IV, или при $\varphi \geq \gamma_1, \tilde{\gamma}_2 \leq \beta < \gamma_2$, скользит налево и останавливается в фазе восстановления; в области V, или при $\beta \geq \frac{\pi}{2}$ и $\beta > \tilde{\gamma}_3$, скользит направо (полное скольжение); в области VI, или при $\beta < \tilde{\gamma}_2$, скользит налево (полное скольжение); в области VII, или при $\varphi < \gamma_1, \gamma_2 \leq \beta \leq \frac{\pi}{2}$, меняет направление скольжения в фазе деформации (сначала скользит налево, затем направо); в области VIII, или при $\varphi < \gamma_1, \tilde{\gamma}_2 \leq \beta < \gamma_2$, меняет направление скольжения в фазе восстановления (сначала скользит налево, затем направо).

Полученное решение является корректным. Любым начальным условиям соответствует единственный вполне определенный характер движения в процессе удара и имеет место непрерывная зависимость от параметров. На границах областей и, более того, в точках бифуркации этих границ для определения характера движения тела при ударе можно использовать формулы, соответствующие любой из пограничных областей — результат будет один и тот же.

Напомним, что исследование процесса удара проводилось в предположении, что центр масс S относительно точки контакта S расположен слева (см. рис. 1), или $b \geq 0$. Случай $b < 0$ может быть

исследован аналогично, либо все результаты легко получаются из соображений симметрии.

Если в момент удара центр масс расположен над точкой контакта S , или $b = 0$ (этот случай имеет место при ударе осесимметричного диска о поверхность), то $\gamma_0 = \frac{\pi}{2}$, $\gamma_1 = 0, \gamma_3 = \pi - \gamma_2, \tilde{\gamma}_3 = \pi - \tilde{\gamma}_2$. Всегда $\gamma_1 \leq \varphi \leq \gamma_0$, и зависимость типа удара от скорости точки контакта до удара показана на рис. 3.

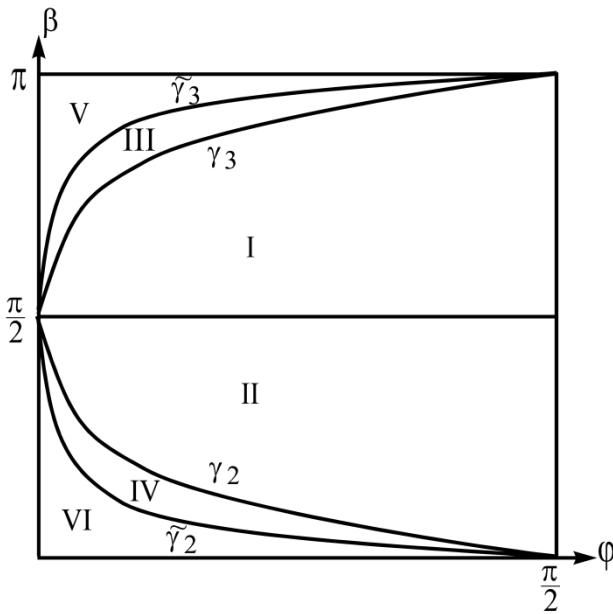


Рис. 3. Области, соответствующие различным типам удара, в случае, когда центр масс тела находится над точкой контакта тела с препятствием

В процессе удара точка контакта S : в области I, или при $\frac{\pi}{2} \leq \beta \leq \gamma_3$, скользит направо и останавливается в фазе деформации; в области II, или при $\gamma_2 \leq \beta \leq \frac{\pi}{2}$, скользит налево и останавливается в фазе деформации; в области III, или при $\gamma_3 < \beta \leq \tilde{\gamma}_3$, скользит направо и останавливается в фазе восстановления; в области IV, или при $\tilde{\gamma}_2 \leq \beta < \gamma_2$, сначала скользит налево и останавливается в фазе восстановления; в области V, или при $\beta > \tilde{\gamma}_3$, скользит направо (полное скольжение); в области VI, или при $\beta < \tilde{\gamma}_2$, скользит налево (полное скольжение).

Заключение. Показано, что в плоской задаче об упругом ударе тела о неподвижное препятствие с учетом ударных сил сухого трения возможны различные типы удара, которые отличаются характером скольжения точки контакта в процессе удара. Формулы для расчета характеристик движения тела после удара и импульсов ударных реакций зависят от типа удара. Построены области, соответствующие различным типам удара, на плоскости угол трения φ , угол падения β (угол наклона скорости точки контакта тела с поверхностью до удара). Показана корректность рассмотренной модели удара.

Работа выполнена при поддержке гранта РФФИ № 13-01-00655-а и гранта Президента РФ № НШ-4748.2012.8 для ведущих научных школ РФ.

ЛИТЕРАТУРА

- [1] Плявниекс В.Ю. Расчет косоугольного удара о препятствие. *Вопросы динамики и прочности*, 1969, № 18, с. 87–109.
- [2] Нагаев Р.Ф. *Механические процессы с повторными затухающими соударениями*. Москва, Наука, 1985, 200 с.
- [3] Иванов А.П. *Динамика систем с механическими соударениями*. Москва, Международная программа образования, 1997, 336 с.
- [4] Пановко Я.Г. *Введение в теорию механического удара*. Москва, Наука, 1977, 232 с.
- [5] Раус Э.Дж. *Динамика системы твердых тел*, т. 1. Москва, Наука, 1983, 463 с.
- [6] Кобринский А.Е., Кобринский А.А. *Виброударные системы (динамика и устойчивость)*. Москва, Наука, 1973, 592 с.
- [7] Гольдсмит В. *Удар. Теория и физические свойства соударяемых тел*. Москва, Изд-во литературы по строительству, 1965, 448 с.

Статья поступила в редакцию 05.02.2014

Ссылку на эту статью просим оформлять следующим образом:

Лапшин В.В. Плоская задача об упругом ударе тела о препятствие. *Инженерный журнал: наука и инновации*, 2014, вып. 1.
URL: <http://engjournal.ru/catalog/eng/teormech/1195.html>

Лапшин Владимир Владимирович — д-р физ.-мат. наук, профессор кафедры теоретической механики МГТУ им. Н.Э. Баумана. Основные научные интересы: механика и управление движением шагающих аппаратов, робототехника. e-mail: vladimir@lapshin.net